

Universidade de Lisboa - Instituto Superior Técnico  
Licenciatura em Engenharia Informática e de Computadores  
Análise e Síntese de Algoritmos

## 2º Projeto

Nuno Amaro, 81824

Afonso Tinoco, 81861

### Introdução

Com este projeto pretendemos expor um algoritmo eficiente para o problema proposto, explicar a sua implementação e fazer uma análise teórica e experimental da complexidade temporal e espacial deste. Pretendemos ainda comparar diversas implementações do algoritmo utilizando estruturas diferentes como suporte para o algoritmo de Dijkstra (Nomeadamente binary heap e fibonacci heap).

### Descrição do problema

O problema descrito pedia para encontrar o local para o encontro de várias cidades que minimiza o custo das viagens desde as várias filiais. Ora, este problema pode ser descrito como um problema num grafo direcionado em que:

- cada localidade é um nó na rede
- cada rota consiste numa aresta cujo peso é o custo da rota
- o grafo não tem ciclos negativos ("não existe um percurso entre localidades que forme um ciclo com valor de perda total negativo")

Assim, o problema é equivalente ao de encontrar num grafo conexo  $G(V,E)$  com um conjunto de nós  $S$  (com  $N = \#V$  e  $C = \#E$  e  $F = \#S$ ) o nó  $u \in V : \min(\sum_{v \in S} \text{dist}(v, u))$  (e identificar a soma e as distancias desde cada  $v$  em  $S$  a esse  $u$ )

### Algoritmo utilizado

Para encontrar a solução do problema foi utilizado o algoritmo de johnson para encontrar para cada  $u \in S$  o vetor SSSP( $u$ ) e foi-se efetuando a soma de todos os SSSP( $u$ ). De seguida percorre-se o vetor das somas linearmente para encontrar o valor mínimo que corresponde ao vértice solução.

## Estruturas utilizadas:

- **$G[u][i]$**  - O grafo  $G$  foi representado como uma lista de adjacências (foi utilizado um `std::vector` (array dinâmica) em vez de `std::list` (lista duplamente ligada), pelo facto de a implementação do `std::vector` ser bastante mais eficiente que a de `std::list` [1]).
- **`dijkstra::Q`** - A fila de prioridade utilizada no algoritmo de Dijkstra. No nosso código encontram-se 5 implementações diferentes do algoritmo de Dijkstra, que variam na estrutura utilizada como suporte.

## Explicação do algoritmo

O algoritmo de Johnson efetua em primeiro lugar uma repesagem às arestas utilizando o algoritmo de Bellman-Ford de modo a transformar o grafo num grafo com os caminhos mínimos equivalentes mas sem arestas negativas. Começa-se por inserir um super nó  $x$  ligado a todos os nós do grafo através de arestas de peso 0 a partir do qual efetuamos o algoritmo de Bellman-Ford.

Usando as distâncias calculadas pelo algoritmo de Bellman-Ford, é efetuada a repesagem de todas as arestas. O novo peso de cada aresta será igual à soma do peso original com a distância do nó origem da aresta subtraindo a distância do nó destino da aresta. Após ser feita esta repesagem a todas as arestas do grafo, teremos um grafo com arestas de pesos positivos.

Finalmente, retiramos o nó  $x$  e efetuamos o algoritmo de Dijkstra para encontrar os caminhos mais curtos entre cada  $s \in S$  e todos os outros vértices.

O nosso algoritmo utiliza um vetor  $P$  de tamanho  $N$  que contabiliza a soma das distâncias de todas os vértices  $s \in S$  a cada vértice  $v \in V$ . Este valor é inicializado a 0's e é atualizado após cada chamada ao algoritmo de Dijkstra somando-se os valores repesados do vetor retornado pelo algoritmo de Dijkstra a este vetor.

Após ter sido obtido o valor final do vetor  $P$ , procura-se pelo vértice  $r$  com soma mínima em  $P$ . Caso o valor desse vértice seja infinito, não existe solução para o problema e a resposta é "N". Caso este vértice exista, esse vértice é a solução do problema.

Para se encontrar as distâncias das fontes  $s \in S$  a  $r$ , a solução mais eficiente seria trocar a direção de todas as arestas do grafo e calcular a distância de  $r$  a todos os  $s$ . No entanto a nossa implementação simplesmente volta a correr o dijkstra todos e guarda o resultado das distâncias a  $r$ , uma vez que a complexidade temporal se mantém igual.

## Prova de correção do algoritmo

No nosso algoritmo calculamos as distâncias de todos os vértices  $u \in S$  a todos os vértices  $v \in V$  e testamos todos os  $v$  para encontrar o que minimiza a soma das distâncias desde todos os  $s$ , pelo que é feita uma pesquisa completa e não existem soluções não consideradas, sendo que a resposta do nosso algoritmo é correta se o algoritmo de johnsons for correto para grafos sem ciclos negativos.

O algoritmo de johnsons realiza um função de repesagem que transforma o grafo  $G(V, E)$  com pesos negativos num grafo  $G'(V, E')$  sem pesos negativos em que os caminhos mínimos utilizam os mesmos vértices que no grafo original[4]. Uma vez que  $G'$  têm apenas pesos não negativos, o algoritmo de dijkstra encontra a solução ótima sempre [3], sendo possível recuperar a distancia em  $G$  de dois vértices  $s, t \in V$  através da soma da repesagem de  $(s, t)$ .

## Análise assintótica temporal teórica do algoritmo

O passo de repesagem do Johnson's foi efetuado com o algoritmo Bellman-Ford com a heurística de paragem. Este algoritmo tem uma complexidade  $O(X_{\max}C)$ , sendo  $X_{\max}$  o comprimento do maior caminho mais curto. Uma vez que no pior caso  $X_{\max} = N - 1$ , a complexidade de pior caso deste algoritmo é  $O(NC)$  [2].

O passo de SSSP a partir das fontes é executado  $F$  vezes e utiliza o algoritmo de Dijkstra cuja complexidade temporal é  $O(C * f_{\text{decrease key}} + N * f_{\text{extract min}})$ , sendo  $f$  as complexidades amortizadas das operações descritas.[3]

Para a implementação com fibonacci heap, temos que as complexidades amortizadas de pior caso são:  $f_{\text{decrease key}} = O(1)$  e  $f_{\text{extract min}} = O(\log N)$ . Assim a complexidade de pior caso geral para cada dijkstra será:  $O(C + N \log N)$ .

Para a implementação com a binary heap, temos que as complexidades de pior caso são:  $f_{\text{decrease key}} = O(\log N)$  e  $f_{\text{extract min}} = O(\log N)$  Assim a complexidade de pior caso geral para cada dijkstra será:  $O((N + C) \log N)$ .

Para os outros algoritmos baseados em estruturas de dados lazy. Não é executado o passo decrease key, havendo apenas um insert, sendo que pode ser retirado um mesmo vértice várias vezes da estrutura, mas o seu processamento apenas executado da primeira vez que é executado. Nesse caso a complexidade de pior caso do algoritmo é  $O((N + C) \log C) = O((N + C) \log N)$  (pois  $C \leq N^2$ ).

O passo da soma dos  $F$  vetores tem complexidade  $O(F * N)$ .

No total, o algoritmo tem complexidade:  $O(f_{\text{reweight}} + 2 * F f_{\text{Dijkstra}} + f_{\text{vector sum}}) = O(f_{\text{repesagem}} + F f_{\text{Dijkstra}} + f_{\text{vector sum}})$ . Para as implementações com binary heap / lazy decrease key, temos que a complexidade de pior caso será:  $O(NC + F(N + C) \log N + FN) = O(NC + F(N + C) \log N)$ . Para as implementações com fibonacci heap, temos que a complexidade de pior caso será:  $O(NC + F(N \log N + C) + FN) = O(NC + F(C + N \log N))$ .

Para grafos densos ( $C$  proporcional a  $N^2$ ), na implementação com fibonacci heap, temos:  $O(N * N^2 + FN \log N) \subset O(N^3)$  (Uma vez que  $F \leq N$ ). Que é a mesma complexidade que teríamos com o algoritmo de Floyd-Warshall, no entanto devido ao overhead

associado às estruturas de dados utilizadas, a implementação com Floyd-Warshall será bastante mais rápida para grafos densos (em troca de um aumento na memória utilizada). Como para o problema em análise estamos a analisar grafos genéricos, com  $F < N$ , o nosso algoritmos tem uma eficiência bastante superior ao de Floyd-Warshall.

## Análise assintótica espacial

O algoritmo utiliza um número constante de estruturas de suporte que utilizam memória  $O(N)$  e um número constante de estruturas de suporte de memória  $O(F)$ .

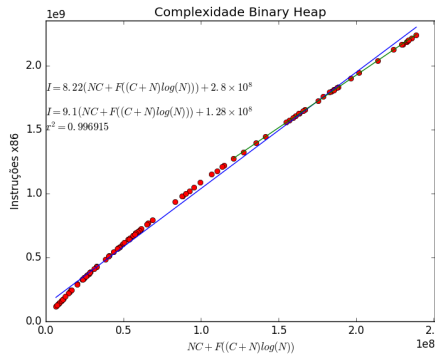
O algoritmos não tem passos recursivos.

No dijkstra, nas versões que utilizam o decrease key, são guardadas no máximo  $N$  estruturas  $O(1)$  na memória. Nas versões lazy do dijkstra são guardadas no máximo  $C$  estruturas  $O(1)$  na memória. Para representar o grafo, é utilizada uma estrutura com memória  $O(N + C)$ .

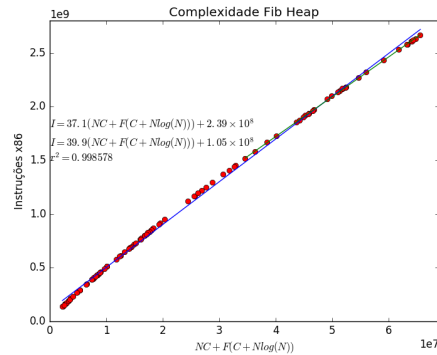
Assim, a complexidade espacial é  $O(N + F + C)$  para ambos os casos. Se não for contabilizada a memória utilizada para representar o grafo o algoritmo tem complexidade espacial  $O(N + F)$  para as representações versões com o decrease-key, e  $O(N + F + C)$  para as versões lazy.

## Análise assintótica temporal experimental do algoritmo

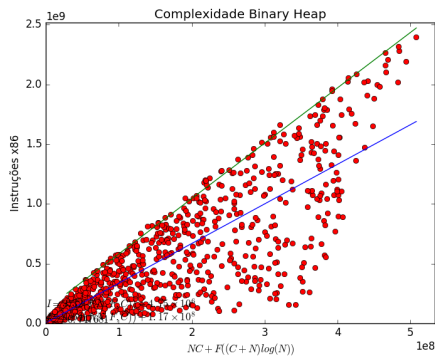
A análise experimental foi efetuada para grafos aleatórios, tendo sido obtidos os resultados das figuras deste relatório. Os grafos (a) e (b) analisam principalmente o passo do dijkstra enquanto os graficos (c) e (d) o passo do Bellman-Ford. Devido às diversas heurísticas utilizadas e ao facto de algumas das estruturas terem facilmente tempo melhor que o de pior caso (nomeadamente as filas de prioridade utilizados), verifica-se uma grande diferença entre a complexidades de pior caso e a de caso médio.



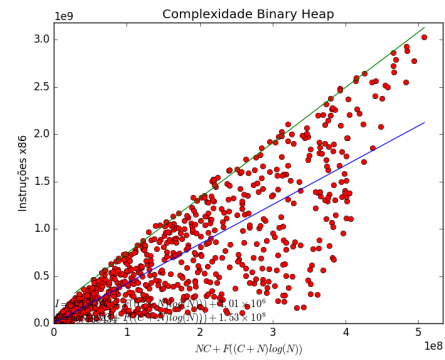
(a) Análise experimental da binary heap com parâmetros  $250 \leq N \leq 1000$ ,  $C = N\sqrt{N}$ ,  $F = 0.95N$  (100 pontos)



(b) Análise experimental da fibonacci heap com parâmetros  $250 \leq N \leq 1000$ ,  $C = N\sqrt{N}$ ,  $F = 0.95N$  (100 pontos)



(c) Análise experimental da binary heap com parâmetros  $1 \leq N \leq 5000$ ,  $C < N$ ,  $F = 0.05N$  (100 pontos)



(d) Análise experimental da fibonacci heap com parâmetros  $1 \leq N \leq 5000$ ,  $C < N$ ,  $F = 0.05N$  (100 pontos)

## Referências

- [1] Programming languages - c++. *ISO/IEC 14882:2003*, page 879, 2003.
- [2] Charles E.; Rivest Ronald L.; Stein Clifford Cormen, Thomas H.; Leiserson. *The Bellman-Ford algorithm*, chapter 24.1. MIT Press and McGraw-Hill, 2001.
- [3] Charles E.; Rivest Ronald L.; Stein Clifford Cormen, Thomas H.; Leiserson. *Dijkstra's algorithm*, chapter 24.3. MIT Press and McGraw-Hill, 2001.
- [4] Donald B. Johnson. Efficient algorithms for shortest paths in sparse networks. *J. ACM*, 24(1):1–13, January 1977.